

**Lesław TOPÓR-KAMIŃSKI, Janusz GUZIK, Adam PILŚNIAK**  
 POLITECHNIKA ŚLĄSKA, INSTYTUT METROLOGII, ELEKTRONIKI I AUTOMATYKI,  
 ul. Akademicka 10, 44-100 Gliwice

## Koncepcja przetwornika zmian parametrów dwójników RC o wyjściu częstotliwościowym z wykorzystaniem oscylatora kwadraturowego rzędu trzeciego

Prof. dr hab. inż. Lesław TOPÓR-KAMIŃSKI

Jest pracownikiem Instytutu Metrologii, Elektroniki i Automatyki Politechniki Śląskiej w Gliwicach. Zajmuje się zagadnieniami teorii obwodów elektrycznych i elektronicznych, szczególnie analizą i syntezą układów aktywnych, modelowaniem układów elektronicznych oraz konstruowaniem i zastosowaniami nowoczesnych wzmacniaczy operacyjnych. Jest autorem i współautorem ponad 130 prac naukowych opublikowanych w kraju i za granicą.

e-mail: leslaw.topor-kaminski@polsl.pl



Dr inż. Janusz GUZIK

Jest docentem w Instytucie Metrologii, Elektroniki i Automatyki Politechniki Śląskiej w Gliwicach. Autor bądź współautor ponad 50 publikacji z zakresu metrologii elektrycznej. Głównie zainteresowania naukowe: pomiary impedancji i jej składowych, układy pomiarowe przeznaczone do diagnostyki izolacji elektrycznej i zagadnienia ich wzorcowania.

e-mail: janusz.guzik@polsl.pl



### Streszczenie

W pracy przedstawiono dwójnikową syntezę oscylatorów kwadraturowych, gdzie poprzez zastosowanie rezystancji ujemnej zależnej od częstotliwości (FDNR – Frequency Dependent Negative Resistance) uzyskano oscylator rzędu  $n = 3$ . Ponadto zaproponowano metrologiczną aplikację oscylatora kwadraturowego o  $n = 3$  zbudowanego z wykorzystaniem trzech wzmacniaczy typu OTA o sterowanych transkonduktancjach do jednoczesnego przetwarzania zmian dwóch składowych impedancji dwójników RC.

**Słowa kluczowe:** oscylator kwadraturowy rzędu trzeciego, transkonduktancyjny wzmacniacz operacyjny OTA, przetwornik zmian składowych impedancji - częstotliwość.

### Idea of RC two-port parameter changes – to – frequency converter with use of the third order quadrature oscillator

#### Abstract

The paper presents the two-port synthesis of quadrature oscillators in which there was obtained a third order quadrature oscillator by use of a FDNR (FDNR - Frequency Dependent Negative Resistance) resistance. There is proposed the metrological application of the third order quadrature oscillator, based on three operational transconductance amplifiers (OTA), for simultaneous processing of changes of two RC two-port impedance components to frequency. The example use of this oscillator is measurement of chosen impedance components  $\{C_0, tg\delta_0\}$  of the measured object. The converter enables simultaneous measurements of these two parameters, where changes of the capacity  $C_0$  value correspond to changes of the pulsation  $\omega_0$  value, and changes of the dielectric dissipation factor  $tg\delta_0$  value correspond to the rise or the fall of the amplitude of generated signals. Due to its properties, the proposed RC two-port parameter changes converter can be used for constructing a comparator circuit, of the general block diagram presented in paper [5], for testing dielectrics.

**Keywords:** third order quadrature oscillator, transconductance amplifier OTA, impedance component changes-to-frequency converter.

Dr inż. Adam PILŚNIAK

Jest pracownikiem Instytutu Metrologii, Elektroniki i Automatyki Politechniki Śląskiej w Gliwicach. Zajmuje się zagadnieniami związanymi z układami nielinowymi, zwłaszcza z wykorzystaniem ich w metrologii. Jest autorem i współautorem kilkunastu prac naukowych opublikowanych w kraju i za granicą.

e-mail: adam.pilsniak@polsl.pl



### 1. Wstęp

W technice pomiarowej w charakterze przetworników różnych wielkości fizycznych, w tym np. składowych impedancji, wykorzystywane są między innymi oscylatory przebiegów sinusoidalnych (por. np. [1]).

Układy oscylatorów przebiegów sinusoidalnych oprócz posiadania takich cech jak: prosta konstrukcja i minimalna ilość elementów aktywnych i biernych, powinny mieć także możliwość niezależnej regulacji częstotliwości wytworzonego sygnału i ustalania warunków ich wzbudzenia. Na ogół wymagane jest też, aby sygnały te cechowały się możliwie dobrą stabilnością amplitudy oraz częstotliwości.

W ogólności właściwości oscylatorów określone są przez współczynniki równania charakterystycznego opisującego układ oscylatora oraz jego rzęd, na ogół  $n = 2$  [2].

W ostatnich kilku latach pojawiły się opracowania układów oscylatorów rzędu  $n = 3$ , z zastosowaniem różnorodnych wielozakresowych wzmacniaczy elektronicznych, pełniących w praktyce funkcje wzmacniaczy operacyjnych [2, 3]. W układach tych, ze względu na analitycznych, zależności opisujące warunek wzbudzenia oscylacji oraz wartość pulsacji są wzajemnie silniej powiązane niż w układach o  $n = 2$ . Z tego względu na ogół, trudniej jest uzyskać możliwości układów ich niezależnej regulacji.

Dlatego też do opisu tej klasy układów można zastosować dwójnikową metodę syntezy oscylatorów [2, 4], ponieważ umożliwia ona łatwiejszą interpretację fizykalną zachodzących w oscylatorze zjawisk i tym samym łatwiejszy dobór elementów układu pod kątem ich ewentualnej metrologicznej aplikacji.

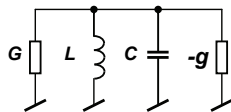
### 2. Metoda dwójnikowa syntezy oscylatorów rzędu trzeciego

W dwójnikowej metodzie syntezy oscylatorów harmonicznych realizuje się je jako symulację układu połączeń kilku dwójników aktywnych i biernych.

Przykładowo, na rys.1 pokazano równoległy obwód rezonansowy  $GLC$  z dołączoną aktywną konduktancją ujemną równą  $-g$ , która kompensuje straty energii rozpraszane w części dysipatywnej obwodu reprezentowanej przez konduktancję  $G$ .

Oscylator taki opisuje jako układ autonomiczny, równanie charakterystyczne rzędu  $n = 2$ , otrzymane przez zsumowanie admittancej poszczególnych gałęzi i przyrównanie ich do zera:

$$s^2 LC + sL(G - g) + 1 = 0. \quad (1)$$



Rys. 1. Równoległy obwód rezonansowy  $GLC$  z konduktancją ujemną  $-g$  jako oscylator dwójnikowy rzędu  $n=2$   
Fig. 1. Parallel resonance circuit  $GLC$  with negative conductance  $-g$  as a two-port oscillator of  $n=2$  order

Wówczas dla relacji  $G - g = 0$  układ wg rys.1 będzie wytwarzają oscylacje o pulsacji  $\omega_0$  określonej jedynie przez elementy reaktancyjne  $LC$  układu:

$$\omega_0 = \frac{1}{\sqrt{LC}}. \quad (2)$$

Do kompensacji strat energii rozpraszanej przez konduktancję  $G$  można także zastosować indukcyjność rzędu drugiego zwaną też rezystancją ujemną zależną od częstotliwości (FDNR – Frequency Dependent Negative Resistance) albo superindukcyjnością.

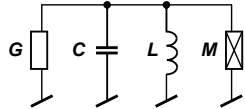
Jest ona dwójnikiem aktywnym oznaczanym literą  $M$  i opisana zależnością admittanceczną:

$$Y_D(s) = \frac{1}{s^2 M}. \quad (3)$$

lub dla  $s = j\omega$ :

$$Y_D(s) = -\frac{1}{\omega^2 M}. \quad (4)$$

Wówczas otrzymujemy układ oscylatora dwójnikowego rzędu  $n = 3$  o postaci pokazanej na rys. 2.



Rys. 2. Równoległy obwód rezonansowy  $GLC$  z rezystancją ujemną zależną od częstotliwości  $M$  jako oscylator dwójnikowy rzędu  $n=3$   
Fig. 2. Parallel resonance circuit  $GLC$  with frequency dependent negative resistance  $M$  as a two-port oscillator of  $n=3$  order

Zatem układ oscylatora dwójnikowego wg rys.2 opisuje admittance  $Y(s)$  postaci:

$$Y(s) = G + sC + \frac{1}{sL} + \frac{1}{s^2 M}, \quad (5)$$

która przyrównana do zera, prowadzi do równania charakterystycznego rzędu  $n = 3$  danego wzorem:

$$s^3 + s^2 \frac{G}{C} + s \frac{1}{LC} + \frac{1}{CM} = 0. \quad (6)$$

W układzie wg rys. 2 wypadkowa wartość konduktancji  $G_W$  zależy od pulsacji  $\omega$  i jest równa:

$$G_W = G - \frac{1}{\omega^2 M}. \quad (7)$$

Z relacji (7) można obliczyć pewną wartość pulsacji granicznej  $\omega_G$ , dla której konduktancja wypadkowa  $G_W$  układu będzie równa zero, a układ będzie miał wtedy charakter czysto reaktancyjny określony jedynie przez wartości elementów  $LC$ :

$$\omega_G = \frac{1}{\sqrt{GM}}. \quad (8)$$

Z kolei dla wartości pulsacji  $\omega > \omega_G$  wypadkowa konduktancja  $G_W$  jest dodatnia i układ wytwarzając oscylacje tłumione. Natomiast dla wartości pulsacji  $\omega < \omega_G$  konduktancja  $G_W$  jest ujemna i układ wytwarzając oscylacje narastające.

W obydwu przypadkach oscylacje te mają pulsację  $\omega_0$  określającą przez wartości elementów  $LC$  daną wzorem:

$$\omega_0 = \frac{1}{\sqrt{LC}}. \quad (9)$$

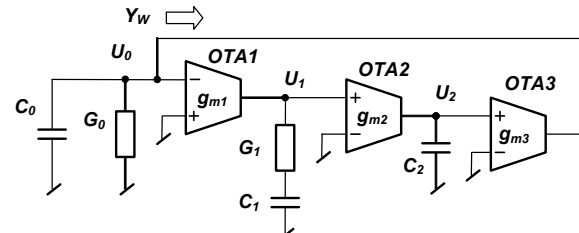
Pulsacje  $\omega_0$  i  $\omega_G$  można także obliczyć formalnie bezpośrednio na podstawie równania charakterystycznego (6) przez podstawienie  $s = j\omega$  i rozwiązywanie dwóch równań: dla części rzeczywistej i urojonej.

Aby spełniony był warunek oscylacji i w układzie wytwarzany był przebieg harmoniczny o stałej amplitudzie, musi być spełniony warunek równości pulsacji drgań i pulsacji granicznej  $\omega_G = \omega_0$  prowadzący ostatecznie do relacji:

$$\frac{GM}{LC} = 1. \quad (10)$$

### 3. Oscylator kwadraturowy rzędu trzeciego i jego zastosowanie do przetwarzania zmian parametrów dwójników RC

Przykładową propozycję praktycznej realizacji oscylatora rzędu  $n = 3$  z zastosowaniem 3 transkonduktancyjnych wzmacniaczy operacyjnych OTA zamieszczono na rys. 3 [4].



Rys. 3. Realizacja oscylatora rzędu  $n=3$  z zastosowaniem transkonduktancyjnych wzmacniaczy operacyjnych OTA1 – OTA3  
Fig. 3. Realization of the third order oscillator with use of transconductance operational amplifiers OTA1 – OTA3

Układ oscylatora dwójnikowego wg rys.3 z kolei opisuje admittance  $Y(s)$  postaci:

$$Y(s) = G_0 + sC_0 + Y_w(s) = G_0 + sC_0 + \frac{1}{sL} + \frac{1}{s^2 M}, \quad (11)$$

gdzie:

$$L = \frac{G_1 C_2}{g_{m1} g_{m2} g_{m3}} \quad \text{i} \quad L = \frac{C_1 C_2}{g_{m1} g_{m2} g_{m3}},$$

oraz następujące wartości pulsacji oscylacji:

$$\omega_G = \frac{1}{\sqrt{G_0 M}} = \sqrt{\frac{g_{m1} g_{m2} g_{m3}}{C_1 C_2 G_0}}, \quad (12a)$$

oraz

$$\omega_0 = \frac{1}{\sqrt{LC_0}} = \sqrt{\frac{g_{m1}g_{m2}g_{m3}}{C_0C_2G_1}}. \quad (12b)$$

Aby można było zmieniać warunki wzbudzenia układu oscylatora wg rys.3, należy np. dobrać  $G_0 = \alpha G_1$  oraz  $C_I = C_0$  i poprzez zmiany wartości współczynnika  $\alpha$  przestrajać pulsację graniczną  $\omega_G$  opisaną wzorem:

$$\omega_G = \sqrt{\frac{g_{m1}g_{m2}g_{m3}}{\alpha G_1 C_0 C_2}}. \quad (13)$$

Wtedy to dla  $\alpha > 1$  i  $\omega_G < \omega_0$  wytwarzane oscylacje są gaszące, natomiast dla  $\alpha < 1$  i  $\omega_G < \omega_0$  wytwarzane oscylacje są nietlumione. W przypadku natomiast gdy  $\alpha = 1$  oraz dla  $g_{m1} = g_{m3} = \beta g_{m0}$ , można przestrajać liniowo pulsację wytwarzanych oscylacji o stałej amplitudzie zmieniając współczynnik  $\beta$ , sterując jednocześnie jednakołe transkonduktancje  $g_{m0}$  wzmacniaczy OTA1 i OTA3, zgodnie z relacją:

$$\omega_0 = \omega_G = \beta g_{m0} \sqrt{\frac{g_{m2}}{G_0 C_0 C_2}}. \quad (14)$$

Sygnalami wyjściowymi oscylatora wg rys.3 to napięcia  $U_0$ ,  $U_1$ ,  $U_2$ , przy czym jedynie dla napięć wyjściowych  $U_1$  i  $U_2$  występuje cecha typowa dla oscylatorów kwadraturowych, tj. przesunięcie fazowe względem siebie o kąt  $\pi/2$ :

$$U_2(j\omega) = \frac{g_{m2}}{\omega_0 C_2} e^{j\frac{\pi}{2}} U_1(j\omega), \quad (15)$$

gdzie:  $\omega = \omega_G = \omega_0$ .

Spełnienie warunku  $\omega_G = \omega_0$ , prowadzącego do wytwarzania sygnałów sinusoidalnych o stałej amplitudzie, prowadzi z kolei do relacji:

$$\frac{G_0}{C_0} = \frac{G_1}{C_1}, \quad (16)$$

gdzie:  $\{G_0; C_0\}$  oraz  $\{G_1; C_1\}$  - parametry dwójników RC wg rys.3. Obowiązywanie relacji (16) pozwala na stwierdzenie „równoważności” wybranych parametrów  $\{G_0; C_0\}$  (np. mierzonego obiektu) oraz  $\{G_1; C_1\}$  (np. zastosowanego wzorca) analizowanych dwójników RC, gdyż każda zmiana np. lewej strony relacji (16) generuje zmianę charakteru wytwarzanych przez układ oscylacji (oscylacje tlumione dla  $G_0/C_0 > G_1/C_1$  lub narastające dla  $G_0/C_0 < G_1/C_1$ ) o pulsacji  $\omega_0$ , co można łatwo stwierdzić.

Zależność (16) można z kolei wykorzystać do komparacji parametrów dwójników RC, w tym szczególnie do porównań zmian wartości współczynnika strat dielektrycznych mierzonego obiektu  $tg\delta_0$  względem wartości zastosowanego wzorca  $tg\delta_1$ :

$$tg\delta_0 = 1/tg\delta_1. \quad (17)$$

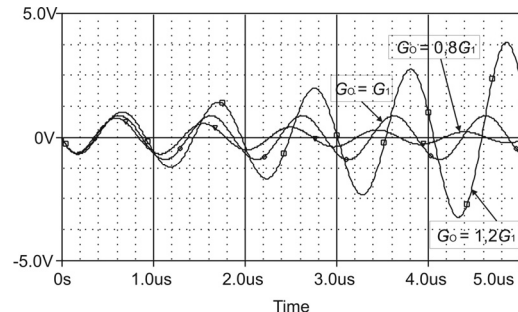
Wtedy to równanie opisujące proces przetwarzania zmian parametrów dwójników RC może być zapisane w ogólnej postaci:

$$\omega_0 = \frac{k}{\sqrt{C_0}}, \quad (18)$$

gdzie:

$$k = \sqrt{g_{m1}g_{m2}g_{m3}/C_2G_1}.$$

Przetwornik wg rys.3 może zatem służyć do pomiarów dwuparametrycznych  $\{C_0; tg\delta_0\}$ , przy czym zmianom wartości pojemności  $C_0$  odpowiadają zmiany wartości pulsacji  $\omega_0$ , natomiast zmianom wartości współczynnika strat dielektrycznych  $tg\delta_0 = G_0 / \omega C_0$  - wzrost lub spadek amplitudy generowanych sygnałów (por. rys. 4).



Rys. 4. Zależność amplitudy generowanych sygnałów od warunku  $G_0 = 0,8G_1$  (oscylacje tlumione),  $G_0 = G_1$  (oscylacje o stałej amplitudzie) i  $G_0 = 1,2G_1$  (oscylacje nietlumione) dla  $C_I = C_2 = C_0 = 159 \text{ pF}$  i  $g_{m1} = g_{m2} = g_{m3} = G_I = G_0 = 1 \text{ mS}$

Fig. 4. Dependence of the generated amplitude signal on condition  $G_0 = 0,8G_1$  (damped oscillations),  $G_0 = G_1$  (constant amplitude oscillations) and  $G_0 = 1,2G_1$  (non-damped oscillations) for  $C_I = C_2 = C_0 = 159 \text{ pF}$  and  $g_{m1} = g_{m2} = g_{m3} = G_I = G_0 = 1 \text{ mS}$

## 4. Podsumowanie

W pracy przedstawiono dwójnikową metodę syntezы oscylatorów harmonicznych z wykorzystaniem rezystancji ujemnej M zależnej od częstotliwości w wyniku której – w oparciu o wzmacniacze typu OTA o sterowanych transkonduktancjach – opracowano oscylator kwadraturowy rzędu trzeciego o łatwo przestrajanym warunku wzbudzenia  $\{G - 1/\omega_2 M\} = 0$  i pulsacji  $\omega_0$  wytwarzanych oscylacji.

Zastosowanie układu oscylatora kwadraturowego rzędu  $n = 3$  pozwala przykładowo na jednoczesne pomiary dwóch parametrów  $\{C_0; tg\delta_0\}$ , przy czym zmianom wartości pojemności  $C_0$  odpowiadają zmiany wartości pulsacji  $\omega_0$ , natomiast zmianom wartości współczynnika strat dielektrycznych  $tg\delta_0$  – odpowiednio – wzrost lub spadek amplitudy generowanych sygnałów.

Właściwości takiego przetwornika mogą być wykorzystane do budowy odpowiedniego układu komparatora do badań dielektryków o ogólnej strukturze analizowanej wcześniej w pracy [5].

## 5. Literatura

- [1] Kanno M., Horikawa T.: Stray-effect-free direct impedance-to-frequency converter, IEEE Transactions on Instrumentation and Measurement, vol. 27, No. 4, December, 1978, s. 405-408.
- [2] Topór-Kamiński L.: Wielozaciskowe wzmacniacze operacyjne w układach oscylacyjnych, Wydawnictwo Pomiary, Automatyka, Kontrola, Warszawa, 2008.
- [3] Das B. P., Watson N., Liu Y.H.: Bipolar OTA based voltage controlled sinusoidal oscillator Proceedings of the International Conference on Circuits, Systems, and Signals, Malta, September, 15-17, 2010, s. 101-105.
- [4] Topór-Kamiński L. et al: Dwójnikowy oscylator kwadraturowy rzędu trzeciego z zastosowaniem transkonduktancyjnych wzmacniaczy operacyjnych OTA, Załącznik do pracy BK-219/RE-2/2011, IMEiA, Gliwice, 2011.
- [5] Guzik J.: Komparator do badań dielektryków z zastosowaniem przetworników i/f, ZN Pol. Śl. , ser. Elektryka, z. 169, Gliwice, 2000, s. 179-187.